

## 调整方法反演大气温度廓线的比较研究

黎光清 董超华

(国家气象局卫星气象中心)

### 提 要

本文定量地分析了一个改进的有偏估计调整算法的特性。并对此法和流行的 Тихонов-Twomey 调整算法的反演结果作了对比研究，证明前者的反演精度和对测值误差的适应能力均优于后者。

### 一、引 言

从空间间接遥测地球大气参数的反演方程是典型的非适定问题。有关非适定问题的概念已在《非适定问题解》<sup>[1]</sup>英译本译者序言中讲得十分深透了。

随着电脑、对地观测卫星技术以及定量分子光谱和大气辐射理论的迅速发展，从六十年代初以来，发现有越来越多的应用物理和工程技术问题不满足 Hadamard 经典提法。例如，有很多实际问题（包括数值预报）在对测值不完全了解时，也要求确定问题的“效应”（即问题的解），甚至有的问题，例如大气间接遥测反演还试图探索产生“效应”的原因，即由一组选定的光谱辐射测值反演大气参数的空间物理结构。

由于反演问题的非适定性，迄今尚有大量物理数学问题有待解决。本文的目的拟进一步估计此算法的精度，并将它和广泛流行的 Тихонов-Twomey 调整方法作对比分析。

### 二、改进的 Bayes 估计调整算法

原则上，根据提出的某一非适定问题，为使其转化为适定问题，可以按数学问题的物理性质，使用不同的限制算法把问题适定化。一般称此对待求的解的限制为调整 (regularization)。目前流行的有 Тихонов-Twomey 调整和估计调整。

在对反演方程实行离散化的同时对测值引入随机误差概念，可以确立下列的估计模式：

$$R^{m,1} = A^{m,*} b^{m,1} + \varepsilon^{m,1} \quad (1)$$

1984年9月7日收到，1985年3月21日收到修改稿。

式中上标  $m, 1; n, 1; m, n$  表示向量或矩阵的维数,  $R$  是辐射测值,  $A$  是权重函数,  $b$  是待求参数,  $\varepsilon$  是测值的随机噪声。

所谓 Bayes 算法就是通过待求参数向量  $b$  使概率密度  $f(R|b)$  达到最大的估计。 $f(R|b)$  和  $f(b|R)$  通过下列 Bayes 公式与随机参数  $f(b)$  建立联系, 即

$$f(b|R) = \frac{f(R|b)f(b)}{f(R)} \quad (2)$$

在对方程 (1) 求估计解的过程中, 我们使用了下列统计假定:

$$R = E\{R|b\} + \varepsilon \quad (3a)$$

$$\varepsilon = N(0, S_\varepsilon) \quad (3b)$$

$$b = N(\mu_b, S_b) \quad (3c)$$

其中

$$\mu_b = E\{b\}, S_b = E\{(b - \mu_b)(b - \mu_b)^t\}$$

$$\varepsilon = E\{\varepsilon\}, S_\varepsilon = E\{(\varepsilon - \mu_\varepsilon)(\varepsilon - \mu_\varepsilon)^t\}$$

以及

$$\varepsilon_A \equiv 0 \quad (3d)$$

$$\text{cov}(b, \varepsilon) = 0 \quad (3e)$$

式中  $E\{\cdot\}$  表示随机变量的期望值,  $t$  表示向量的转置。 $(3a)$  表示估计模式 (1) 中的测值误差是可加的。在  $(3b, c)$  中假定  $b$  和  $\varepsilon$  都是正态分布。 $S_b$  和  $S_\varepsilon$  分别表示待求参数验前信息和测值误差的协方差矩阵。为简化反演的估计解还假定权重函数不含任何误差, 此即  $(3d)$  式。实际上不含误差的核是不可能的, 有关考虑权重函数误差对反演精度的影响的估计方法, 我们将在另文讨论。

根据  $(3c)$  式完全可以确定待求参数  $b$  的密度函数  $f(b)$ <sup>[12]</sup>, 即

$$f(b) = (2\pi)^{-N/2} |S_b|^{-1/2} \exp \left[ -\frac{1}{2} (b - \mu_b)^t S_b^{-1} (b - \mu_b) \right] \quad (4)$$

式中  $N$  表示待求参数的个数, 因为  $f(R)$  不是待求参数  $b$  的函数, 因而不需确定其概率密度。

如果在 (2) 式中不考虑验前信息, 就可将  $f(R|b)$  确定为最大似然的概率密度, 即

$$f(R|b) = (2\pi)^{-M/2} |S_\varepsilon| \exp \left[ -\frac{1}{2} (R - Ab)^t S_\varepsilon^{-1} (R - Ab) \right] \quad (5)$$

式中  $M$  表示气象卫星的探测通道数。因为按 Bayes 公式所确定的  $f(b|R)$  的最大值和取其自然对数所得到的极大值相同, 因此

$$L_s[f(b|R)] = -\frac{1}{2} [(M + N)L_s 2\pi + L_s |S_\varepsilon| + L_s |S_b| + S] \quad (6)$$

式中

$$S = (R - Ab)^t S_\varepsilon^{-1} (R - Ab) + (b - \mu_b)^t S_b^{-1} (b - \mu_b) \quad (7)$$

由于拟估计的参数为  $b$  而不是  $S_b$ , 因而对  $f(b|R)$  求极大, 可以通过求  $S$  的极小实现。将 (7) 式展开, 有

$$\begin{aligned} S = & R^t S_\varepsilon^{-1} R - R^t S_\varepsilon^{-1} A b - b^t A^t S_\varepsilon^{-1} R + b^t A^t S_\varepsilon^{-1} A b \\ & + b^t S_b^{-1} b - b^t S_b^{-1} \mu_b - \mu_b^t S_b^{-1} b + \mu_b^t S_b^{-1} \mu_b \end{aligned} \quad (8)$$

继而按  $b$  求  $S$  的极小，并定义  $b_1$  为待求参数  $b$  的最大验后估计量，有

$$\nabla_{b_1} S = -A'S_i^{-1}R + A'S_i^{-1}Ab_1 + S_b^{-1}b_1 - S_b^{-1}\mu_b = 0 \quad (9)$$

为了有可能更充分地使用不同形式的验前信息，再对 (9) 式作一定运算，得：

$$b_1 = \mu_b + D_1 A'S_i^{-1}(R - A\mu_b) \quad (10)$$

$$D_1 = (A'S_i^{-1}A + S_b^{-1})^{-1} \quad (11)$$

这就是我们设计的改进的有偏估计算法，或改进的 Bayes 算法，以下简称  $A$  法。此法的特点之一是通过 (10) 式中右端第二项（即所谓的有效信息项）对待估参数的验前统计平均值进行订正，直接给待估参数提供新的信息。它的第二个特点表现在按所用的统计假定，可以证明使用 (10) 式得到  $b_1$  的期望值为

$$E\{b_1\} = \mu_b \quad (12)$$

而不是待求的参数  $b$ ，由估计理论可知  $b_1$  是有偏估计，并已证明在线性估计模式中设计待估参数的有偏估计量，可以改进无偏估计，得到更小的均方误差<sup>[3]</sup>。它的第三个特点还表现在，由于这个算法比较合理地考虑了验前信息的结构，因而不同于当前反演界所采用的估计算法<sup>[4-6]</sup>，实际上由 (10)、(11) 式组成的估计算法是对 Tikhonov-Twomey 算法的改进。在本文中还将通过对两法的精度分析证明这一点。

### 三、Tikhonov-Twomey 调整算法

为了将方程 (1) 的一类非适定问题适定化，可以引入调整算子对待求的解加上一个限制，克服计算不稳定的困难。所谓 Tikhonov-Twomey 调整，实际上就是把直接求解方程 (1) 的问题转化成  $\|Lb\|^2 = \text{const}$  的限制条件下求二次范数  $\|Ab - R\|^2$  的极小化问题，其中  $L$  是拟选定的线性算子。因此有

$$\underset{b}{\text{ArgMin}}\{\|Ab - R\|^2 + \mu^2\|Lb\|^2\} \quad (13)$$

这里  $\text{ArgMin}_b F(b)$  表示函数  $F(b)$  的极小点， $\mu^2$  起着 Lagrange 乘子的作用。如果将  $L$  取成恒同算子，则  $\|\mu^2\|$  具有特定值。通过 (13) 式可以求得在此调整为极小概念下的近似解，即

$$b_2 = D_2 A'R \quad (14)$$

$$D_2 = (A'A + \alpha H)^{-1} \quad (15)$$

这就是所谓的 Tikhonov-Twomey 调整算法，以下简称  $B$  法。根据我们的数值试验，算子  $H$  的形式可以取成对称矩阵、单位矩阵、甚至非对称矩阵形式，关键是只要适当选择  $\alpha$  均可得到相当精度的近似解。

### 四、 $A$ 、 $B$ 两法的统一性

我们知道，估计解的变化是随选定的统计假定而定，因此估计解之间的联系是通过适当改变统计假定直接实现的。例如对  $A$  法而论，如果使用的验前信息协方差矩阵  $S_b$  很坏，则它就有相当大的对角元。因此  $S_b^{-1} \approx 0$ ，随之由 (10) 式确定的  $b_1$  自然退化成最大

似然估计  $b_{ML}$ , 即

$$b_{ML} = (A' S_e^{-1} A)^{-1} A' S_e^{-1} R \quad (16)$$

再者如果统计假定(3)式都成立, 并取  $S_e = \sigma_e^2 I$ , 则有

$$b_1 = b_{ML} = b_{LS} \quad (17)$$

式中  $b_{LS}$  表示最小二乘估计。特别是如果在(13)式中假定  $\mu_b = 0$ ,  $S_b^{-1} = 0$ , 并用单位矩阵  $I$  代替  $S_e^{-1}$ , 还可直接从(10)式退化成 Tikhonov-Twomey 调整(14)式、最小信息解<sup>[2]</sup>或山脊(Ridge)回归<sup>[3]</sup>。

由此可知, 在一定条件下  $A$ 、 $B$  两法也是相互联系的, 通过改变统计假定将二者统一起来。因此, 从统一观点看  $A$  法是最普遍的估计方法。同时,  $B$  法、最小信息法和 Ridge 回归在算法上也具有等效性。

## 五、精 度 分 析

反演温度廓线的精度取决于很多因素, 诸如光谱带的选择、谱通道的位置和宽度(分辨率)、谱线强度测值的精度、透过率算法精度、温度层结验前信息统计以及反演算法精度等。本文只分析反演算法和辐射测值误差对反演廓线精度的影响。

通过对调整解和真解之偏差的频散矩阵分析, 可以对反演算法精度作出估计。定义调整解  $b_i$  (取下标  $i = 1$  为  $A$  法的解,  $i = 2$  为  $B$  法的解) 和真解  $b$  的偏差为  $\delta_i b$ , 即

$$\delta_i b = b_i - b = Pb + Q\epsilon \quad (18)$$

据此, 使用调整解(10)、(14), 当  $i = 1, 2$ , 则分别有

$$P_1 = D_1 A' S_e^{-1} A - I \quad (19)$$

$$Q_1 = D_1 A' S_e^{-1} \quad (20)$$

相应地

$$P_2 = D_2 A' A - I \quad (21)$$

$$Q_2 = D_2 A' \quad (22)$$

根据向量  $b$  和  $\epsilon$  的随机性质, 并假定二者之间不相关, 作一定的统计运算, 可以导出表示解的偏差的频散矩阵测度

$$d_i = P_i S_e P_i^T + Q_i S_e Q_i^T \quad (23)$$

其中下标  $i = 1$  或  $2$ , 分别表示  $A$  法和  $B$  法的频散矩阵。式中第一项依赖于反演廓线的物理结构, 第二项表示辐射测值误差对反演精度的作用。

比较分析表 1,  $A$  和  $B$  中各项之值可以看出, 两法所含的  $PS_e P^T$  值对每层等压面上的反演误差均给以主要的影响。一般  $PS_e P^T$  的绝对值比  $QS_e Q^T$  大一个数量级以上, 这一项反映出初始积分算子的权重函数和验前信息的主要贡献。除个别大气层外方法  $A$  的频散总偏差  $d_1$  明显地小于  $d_2$ , 因而  $A$  法的精度高于  $B$  法。这一点还可以通过比较  $A$  法和  $B$  法的反演廓线和实况偏差得到验证。同时表 1 示出, 随着测值误差的增大两法的反演精度也随之下降, 但  $B$  法比  $A$  法突出。

在图 1 中示出  $A$ 、 $B$  两法解的偏差平均频散度对辐射测值误差的依赖性, 其中

表 1.A 两种方法反演温度在不同气压层上的频数  
估计 ( $\epsilon = 0.1 \text{ ergs}^{-1} \text{cm}^{-1} \text{St}^{-1} (\text{cm}^{-1})^{-1}$ )

标准气压层(hPa)		1000	850	700	500	400	300	250	200	150	100	70	50	30	20	10
方法																
改进的有偏估计调	$Q_1 S_4 Q_1^t$	0.1304	0.1359	0.0236	0.0596	0.0194	0.0406	0.0444	0.0258	0.1635	0.0771	0.0376	0.0047	0.0195	0.039	0.0382
整(A法)	$P_1 S_4 P_1^t$	2.5221	3.3577	0.4038	0.5394	0.0787	0.0631	0.1066	0.0802	0.3069	0.462	0.115	0.1349	0.0693	0.1015	0.0003
Tikhonov	$Q_1 S_4 Q_1^t$	0.0679	0.0992	0.0511	0.0335	0.024	0.0278	0.0215	0.0226	0.0437	0.0251	0.0355	0.02	0.0342	0.0189	0.0227
-Twomey	$P_1 S_4 P_1^t$	2.4513	3.2925	2.4831	0.533	0.5215	0.5925	0.0341	0.183	0.5244	0.8732	0.5157	0.0464	0.1638	0.4301	0.1375
调整(B法)	$d_1$	2.5192	3.3017	2.5342	0.5665	0.5455	0.6203	0.0556	0.2056	0.5581	0.8983	0.5511	0.0664	0.1981	0.449	0.1802

表 1.B 两种方法反演温度在不同气压层上的频数  
估计 ( $\epsilon = 0.5 \text{ ergs}^{-1} \text{cm}^{-1} \text{St}^{-1} (\text{cm}^{-1})^{-1}$ )

标准气压层(hPa)		1000	850	700	500	400	300	250	200	150	100	70	50	30	20	10
方法																
改进的有偏估计调	$Q_1 S_4 Q_1^t$	0.1143	0.1029	0.035	0.0669	0.0254	0.0191	0.0457	0.0562	0.1171	0.1722	0.0319	0.0368	0.0812	0.0631	0.3116
整(A法)	$P_1 S_4 P_1^t$	5.0202	3.364	0.3041	0.6149	0.3192	0.0688	0.0049	0.044	0.676	0.844	0.0864	0.069	0.0359	0.4101	0.2316
Tikhonov	$Q_1 S_4 Q_1^t$	0.1345	3.4659	0.3591	0.6818	0.3746	0.088	0.0305	0.1002	0.7931	1.0162	0.1183	0.0978	0.1171	0.4732	0.5432
-Twomey	$P_1 S_4 P_1^t$	0.0709	0.0243	0.0179	0.0406	0.037	0.0232	0.0214	0.0271	0.0387	0.0459	0.0337	0.0415	0.0519	0.0231	0.1145
调整(B法)	$d_1$	1.0610	2.6497	3.665	2.0805	0.5021	0.5731	0.0715	0.1609	0.7908	1.093	0.4571	0.0243	0.1782	0.5942	0.6337

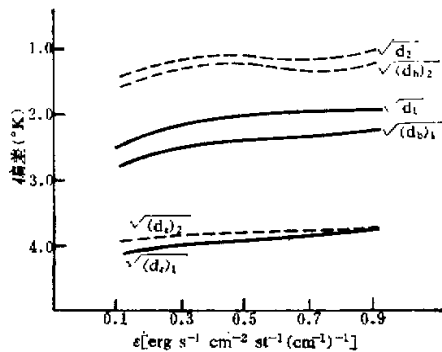


图 1 A 法(实线)、B 法(虚线)的频散度对测值误差的依赖性

$$(d_b)_i = \frac{1}{14} t_r (PS_b P^t)_i \quad (24a)$$

$$(d_e)_i = \frac{1}{14} t_r (QS_e Q^t)_i \quad (24b)$$

$$\bar{d}_i = (d_b)_i + (d_e)_i \quad (24c)$$

描写温度廓线反演的平均精度, 式中  $t_r$  表示矩阵的迹,  $i = 1$  或  $2$  分别表示  $A$  法或  $B$  法的估计量。清楚看出随测值误差增大, 两法的频散度偏差也随之增大, 由于  $(d_b)_2 > (d_b)_1$ ,  $(d_e)_1 \approx (d_e)_2$ , 因此  $\bar{d}_2 > \bar{d}_1$ , 自然  $A$  法的精度高于  $B$  法。

从图 2A 和 2B 进而看出  $A$  法的精度明显地优于  $B$  法, 特别是  $A$  法对测值误差增大

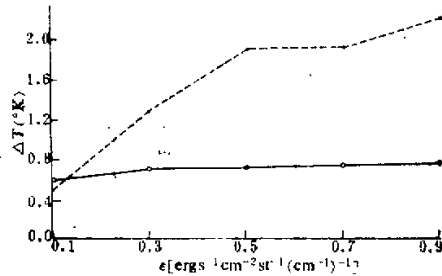


图 2A 1000hPa 层上 A、B 两法反演温度偏差对测值误差的依赖性

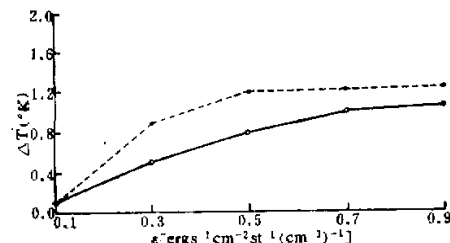


图 2B 100hPa 层上 A、B 两法反演温度偏差对测值误差的依赖性

的适应能力也比B法强，因此A法的稳定性超过B法。

通过以上分析可知当前广泛流行的 ТИХОНОВ-Twomey 调整法，在大气间接遥测反演中的应用并不完全成功，其主要原因之一就在于B法不太适于求解随机性强的一类非适定问题，但它独立于验前统计的重要特性仍具有根本重要意义。

### 参 考 文 献

- [1] Tikhonov, A. N., and Arsenin, V. Y., 1977, Solution of ill-posed Problems.
- [2] Priestley, M. B., 1981, Spectral analysis and time Series, Vol. 1: Univariate Series.
- [3] 黎光清, 1984, 地球大气红外间接遥测方程的估计解和验前限制, 大气科学, Vol. 8, No.4.
- [4] Fleming, H. E., and Smith, W. L., 1972, Inversion techniques for remote Sensing atmospheric temperature profiles, presented at the 5th Symposium on temperature.
- [5] Туричн, В. Ф., Кошов, В. П., И. Малкевич М. С., 1970, Успехи Физич. Наук, Т. 102, Вып.3.
- [6] 曹庆存, 1974, 大气红外遥测原理, 科学出版社.
- [7] Foster, M., 1961, J. Industr. and Appl. Mathematics, 9, 387.
- [8] Hoerl, A. E., and Kennard, R. W., 1970, Technometrics, 12, 55.

## USING REGULARIZATION METHODS FOR RETRIEVING ATMOSPHERIC TEMPERATURE PROFILES: A COMPARATIVE STUDY

Li Guangqing Dong Chaohua

(Satellite Meteorology Center, State Meteorological Administration)

### Abstract

In this paper a biased estimation regularizing algorithm is analysed, and the quantitative comparison between the retrievals of the algorithm and current Tihonov-Twomey regularization algorithm is made. We come to the conclusion that the former algorithm is much better than the latter for the resolution in retrievals and stability to measurement errors.